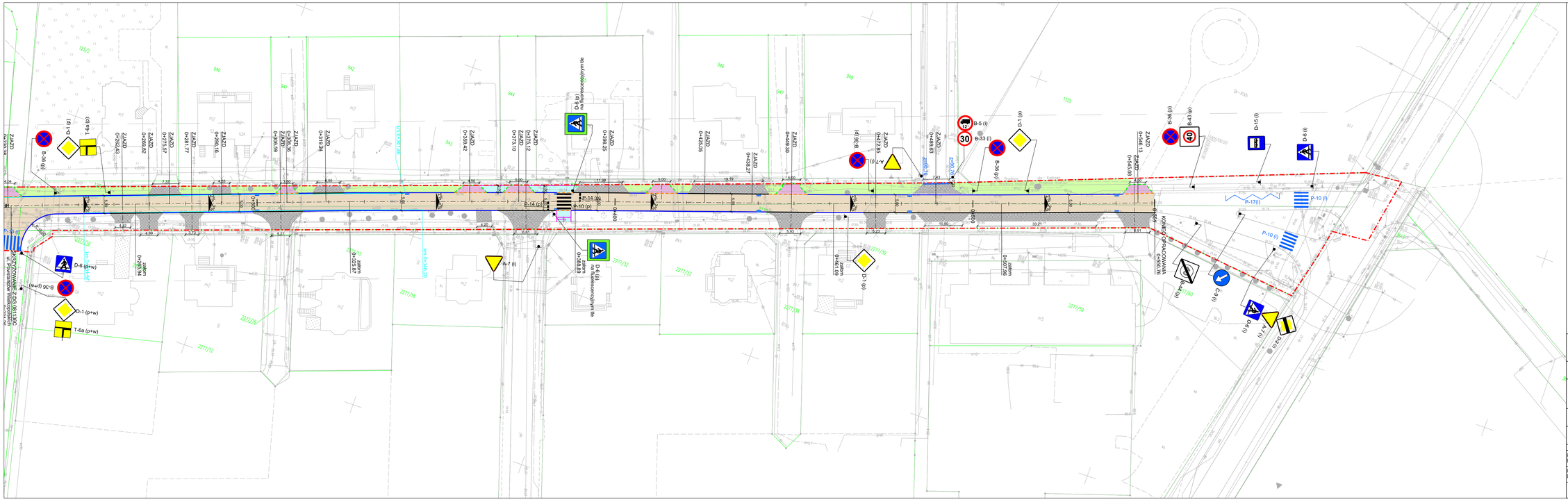
ZJAZD 0+238.36
D-10 (l)
T-6a (l)
B-36 (l)
ZJAZD 0+262.43
ZJAZD 0+269.92
ZJAZD 0+275.67
ZJAZD 0+281.77
ZJAZD 0+290.16
ZJAZD 0+296.36
ZJAZD 0+306.69
ZJAZD 0+319.34
ZJAZD 0+339.42
ZJAZD 0+373.10
ZJAZD 0+375.12
ZJAZD 0+398.25
ZJAZD 0+425.05
ZJAZD 0+438.27
ZJAZD 0+449.30
ZJAZD 0+472.85
ZJAZD 0+488.63
ZJAZD 0+496.13
ZJAZD 0+545.08
KONIEC OPRACOWANIA 0+557.76
D-5 (p) na fluorescencyjnym tle
D-14 (p)
P-14 (p)
P-10 (p)
B-5 (l)
B-33 (l)
B-36 (p)
B-43 (p)
D-15 (l)
D-6 (l)
P-17 (l)
P-10 (l)
A-7 (l)
D-6 (p)
A-7 (p+w)
B-36 (p+w)
D-1 (p+w)
T-6a (p+w)
zjazd 0+263.87
zjazd 0+308.00
zjazd 0+451.09
zjazd 0+507.95
D-1 (p)
C-9 (l)
D-1 (l)
T-6a (l)
2271/2
2271/3
2271/4
2271/5
2271/6
2271/7
2271/8
2271/9
2271/10
2271/11
2271/12
2271/13
2271/14
2271/15
2271/16
2271/17
2271/18
2271/19
2271/20
2271/21
2271/22
2271/23
2271/24
2271/25
2271/26
2271/27
2271/28
2271/29
2271/30
2271/31
2271/32
2271/33
2271/34
2271/35
2271/36
2271/37
2271/38
2271/39
2271/40
2271/41